

NAFĀTOSŤ NAVĀRANĚHO PRACOVNĚHO VALCA 8. STOLICE TEPEJ ŠIROKOFĀSOVEJ TRATE P 1700 OD TEPELNĚHO ZĀTAŽENIA PRI VALCOVANĚ

Doc. Ing. JĀn SlavkovskĀ, CSc.
StrojnickĀ fakulta SVŠT v Bratislave

StrojnickĀ fakulta SVŠT uŹ dlhšie obdobie spolupracuje s VĀskumnĀm Źstavom zvĀraĀskĀm v Bratislave v oblasti riešenia napĀtosti valcov valcovacĀch stolĀc, ktoré sŹ vyrĀbanĀ alebo renovovanĀ elektrotroskovĀm navĀranĀm. Pri aplikĀcii predmetnej technolĀgie sa na nĀzkolegovanĀ telo valca navĀrĀ v pracovnej oblasti tvrdonĀvar s velmi dobrĀmi mechanickĀmi vlastnosŤami a s vysokou odolnosŤou proti abrazĀv-nemu opotrebeniu.

Ako priamy nĀsledok navĀranie vznikajŹ vo valcoch zvyškovĀ napĀtia [1] a tie ŹĀhanĀm nie je moŹnĀ Źplne odstrĀniŤ, pretože telo valca a nĀver majŹ rozdielne mechanickĀ a fyzikĀlne vlastnosti. Pri exploatĀcii valcov v stoliciach sa k zvyškovĀm napĀtiam eše superponujŹ cyklickĀ napĀtia od vonkajšieho mechanickĀho zĀtaŹenia [2] a cyklickĀ napĀtia od tepelnĀho zĀtaŹenia pri valcovanĀ za tepla.

Pri valcovanĀ za tepla teplo prestupuje z prievalku cez kontaktnŹ plochu na povrch pracovnĀho valca a Āalej je vedenĀ do jĀdra valca. Miesto kontaktu valca s prievalkom a teda aj miesto prestupu tepla sa nĀsledkom rotĀcie periodicky menĀ. Aby nedošlo k prehriatiu valcov v prevĀdzke, valce sŹ ochladzovanĀ najĀastejšie striekanĀm chladiaceho mĀdia z trysiek. VĀsledky meranĀ striedania teplĀt na povrchu a v tele hornĀho pracovnĀho valca dokumentujŹ experimentĀlne merania [3], pozri obr.1.

Vzhľadom na skutoĀnosŤ, Źe tepelnĀ zĀtaŹenie pracovnĀch valcov trate P 1700 nebolo experimentĀlne zisťovanĀ, vyuŹili sme vĀsledky teoretickĀho riešenia teplotovĀho poľa [4] znĀmĀrnenĀ na obr.2. PouŹitĀ program vychĀdza z predpĀkladu pĀsobenia bodovĀho zĀroja tepla c konštantnej teplete, ktorĀ sa vzhľadom k ohrievanĀmu telesu pohybuje rĀchlosŤou valcovania. Rešpektuje tepelnŹ vodivosŤ ohrievanĀho materiĀlu, ale neuvaŹuje odvĀdzanie tepla do okolia. Tec-

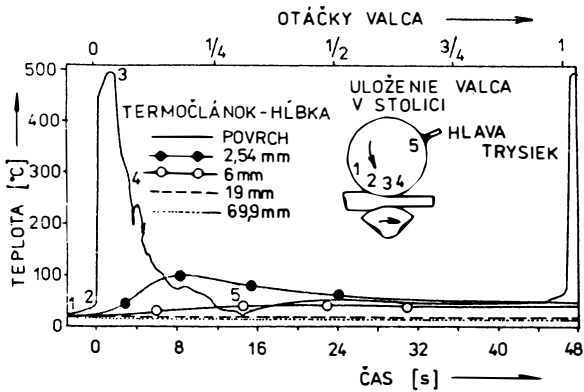
retické výsledky sme čiastočne korigovali v súlade s publikovanými experimentálnymi meraniami podľa obr.1.

Výpočet napätí od tepelného zataženia sme realizovali aplikáciou metódy konečných prvkov /MKEP/ pomocou programu SAP-IV. Predmetný program je postavený pre rovinné aj priestorové úlohy, umožňuje vypočítať napätosť od sústredených síl, spojitých zatažení, objemových síl a tepelného zataženia. Zataženie môže byť statické aj dynamické, ale predpokladá sa nemennosť súradníc uzlových bodov oblasti a platnosť Hookeovho zákona v celom rozsahu deformácií. Funkcie posuvov uzlových bodov sú uvažované ako lineárne polynómy.

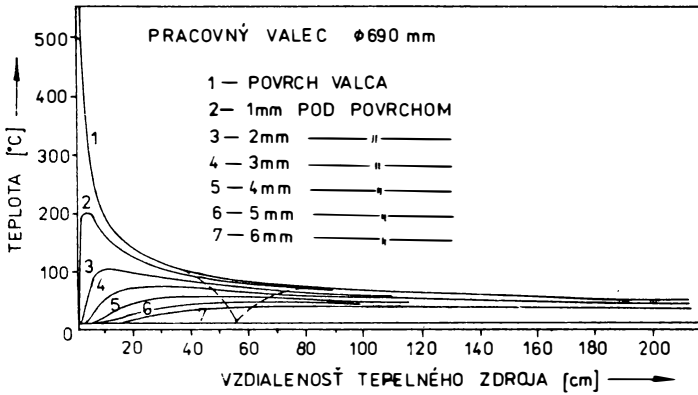
Použitím programu SAP-IV na riešenie našej úlohy sa dopúšťame určitých zjednodušení. Reálny valec rotuje, resp. menia sa súradnice uzlových bodov modelu a tiež v kontaktnej oblasti možno očakávať pružnoplastické deformácie. Použitý model všeobecnú priestorovú dynamickú úlohu so štacionárnym tepelným zatažením a rotujúcim zataženým objektom nahradzuje úlohou rovinnou kvazidynamickou. Radiálny rez výpočtového modelu valca považujeme za nepohyblivý a predpokladáme pohyb tepelného zdroja po obvode valca rýchlosťou valcovania.

Oblasť výpočtového modelu sme rozdelili na 140 prvkov so 163 uzlovými bodmi. Veľkosť a plocha prvkov je volená s ohľadom na miesto a gradienty tepelného zataženia. Dôležitým faktom je tiež ten fakt, že pracovný valec je zložený z dvoch materiálov a prvku oblasti modelu možno predpísať iba jeden materiál.

Podľa programu SAP-IV boli v jednotlivých uzloch prvkov oblasti vypočítané parametre, ktoré jednorozmerne definujú tepelnú napätosť radiálneho rezu pracovného valca a to tangenciálne napätie σ_x , radiálne napätie σ_y a šmykové napätie τ_{xy} . Na obr.3 je zobrazený priebeh zložiek napätí σ_x , σ_y na spojnici stredu kontaktnej plochy so stredom radiálneho rezu valca. Tangenciálne napätie σ_x je v celom radiálnom reze tlakové a extrémnu hodnotu má na povrchu valca. V podpovrchovej oblasti σ_x prudko klesá. Významne ovplyvňuje povrchovú napätosť valca do hĺbky 5mm. Radiálne napätie σ_y je na povrchu valca nulové. V celom radiálnom reze je ťahové a extrémnu veľkosť má v hĺbke 10 mm pod



Obr. 1 PRIEBEH TEPLŔTY POČAS 1. OTÁČKY VALCA



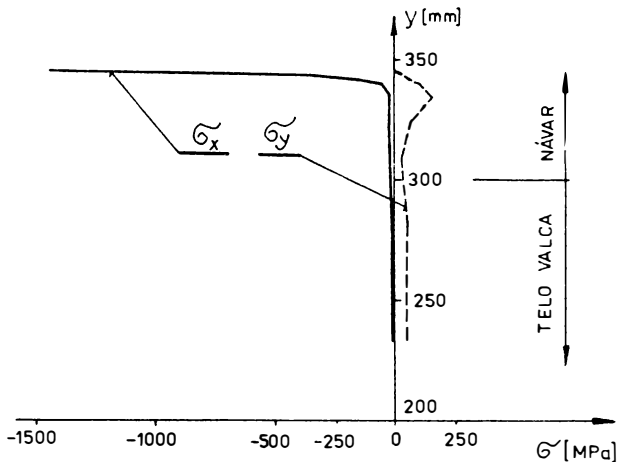
Obr. 2 PRIEBEH TEPLŔT VO VALCI V ZÁVISLOŠTI OD VZDIALENŠŤI TEPELNÉHO ZDRŔJA

povrchom.

Záverom možno konštatovať, že rýchlo sa striedajúce prehriatie a podchladenie tenkej povrchovej vrstvičky výrazne prispieva k únave pracovnej plochy valcov valcovacích stolíc.

Literatúra:

- [1] Elaškovič, P., Slavkovský, J., Zajac, J.: Príspevok k možnostiam efektívneho použitia elektrotroskove naváraných valcov vo valcovniach. In: Zborník z 8. konferencie O některých problémech hutních válců pro válcovny. Ostrava 1983.
- [2] Slavkovský, J.: Napätost naváraného pracovného valca od kontaktných tlakov pri valcovaní. In: Zborník z 21. konferencie Experimentální analýza napětí. Luhačovice 1983.
- [3] Johnson, Sturgeon: Roll Wear in Rod Finishing Stands of High - Sped Hot Section Mills. Tribology in Iron and Steel Works. ISSI Londýn 1969.
- [4] Zajac, J.: Matematický model elektrotroskového navérenia valcov valcovacích stolíc. Kandidátska dizertačná práca, Bratislava 1979.



Obr. 3 PRIEBEH NAPĚTÍ V RADIÁLNOM REZE NAVÁRANÉHO VALCA